

РОССИЙСКАЯ АКАДЕМИЯ НАУК
СИБИРСКОЕ ОТДЕЛЕНИЕ

ЖУРНАЛ
СТРУКТУРНОЙ
ХИМИИ
НАУЧНЫЙ ЖУРНАЛ

Основан в 1960 г.

Выходит 8 раз в год

ТОМ 59

Июль-август

№ 6, 2018

СОДЕРЖАНИЕ

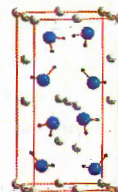
ТЕОРИЯ СТРОЕНИЯ МОЛЕКУЛ И ХИМИЧЕСКОЙ СВЯЗИ

Кайзер Е.Б., Кравченко Н.Г., Поплавной А.С.

1301

Первопринципное моделирование электронных свойств
 LiNH_2 и NaNH_2

Ключевые слова: функционал плотности, электронная структура, электронная плотность, химическая связь, хранение водорода, амиды щелочных металлов

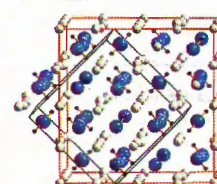


Кравченко Н.Г., Жданов В.В., Кайзер Е.Б., Поплавной А.С.

1308

Первопринципные исследования кристаллической структуры, электронных спектров и химической связи в низкотемпературной фазе имида лития

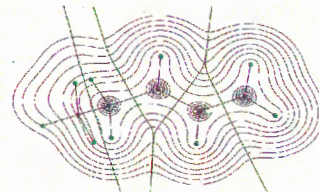
Ключевые слова: хранение водорода, имид лития, функционал плотности, электронные спектры, химическая связь



Чернова Е.М., Ситников В.Н., Туровцев В.В., Орлов Ю.Д.

1315

Исследование электронного строения алкилаллильных радикалов



Ключевые слова: электронная плотность, свободные радикалы, свободная валентность, спиновая плотность, радикальный центр, квантовая теория атомов в молекуле, сопряжение

Bilge M.

1321

A DFT investigation of the interaction of B- and Al-doped C_{60} fullerenes with cyclopropylpiperazine

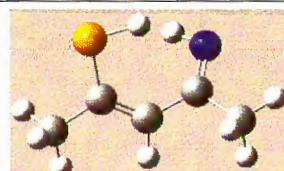


Keywords: doped fullerenes, cyclopropylpiperazine, DFT, NBO

Poorsargol M., Delarami H.S.

1326

A quantum chemical study of various intramolecular hydrogen bonds in 4-amino-3-pentene-2-thial

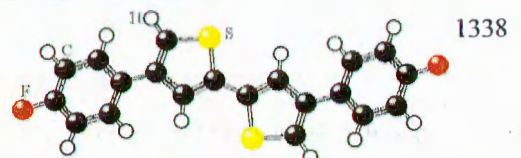


Keywords: 4-amino-3-pentene-2-thial, intramolecular hydrogen bond, resonance, AIM, NBO

Nikoofard H., Amin A.H.

DFT study of structural and electronic properties of conducting oligo(*p*-fluorophenylthiophene)

Keywords: conducting polymer, oligo(*p*-fluorophenylthiophene), density functional theory, doped state

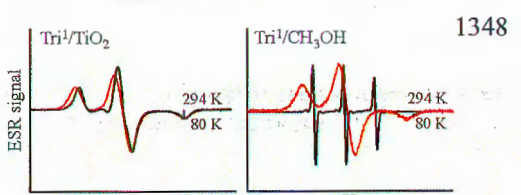


ИССЛЕДОВАНИЕ СТРОЕНИЯ МОЛЕКУЛ ФИЗИЧЕСКИМИ МЕТОДАМИ

Самойлова Р.И., Сырямина В.Н., Цветков Ю.Д.,
Дзюба С.А., Тониоло К., Формаджио Ф.

**ЭПР спектроскопия адсорбированных спин-меченых пептидов:
иммобилизация трихогина на диоксиде титана**

Ключевые слова: TOAC спин-меченные пептиды,
иммобилизация на TiO_2 , ЭПР спектроскопия



Кинжалов М.А., Новиков А.С., Хорошилова О.В.,
Бокач Н.А.

Строение 2-метилфенилианамида в твердой фазе

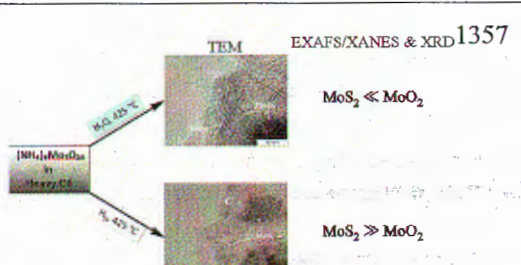
Ключевые слова: арилцианамиды, нековалентные
взаимодействия, анализ поверхностей Хиршфельда,
топологический анализ распределения электронной плотности



Соснин Г.А., Мищенко О.О., Елецкий П.М.,
Кукушкин Р.Г., Гуляева Ю.К., Булавченко О.А.,
Герасимов Е.Ю., Сараев А.А., Каичев В.В., Храмов Е.В.,
Яковлев В.А.

Особенности структуры Мо-содержащего дисперсного катализатора в процессе облагораживания тяжелой нефти в среде водяного пара и водорода

Ключевые слова: молибден, каталитический паровой крекинг,
тяжелая нефть, дисперсный катализатор

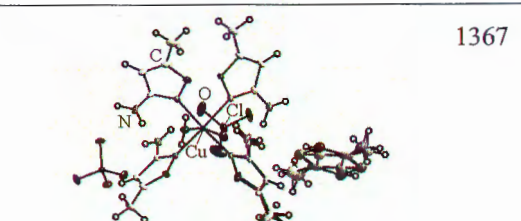


Ben Nasr M., Kahlaoui M., Ferenc W., Cristovao B.,
Ben Nasr C.

Crystal structure, magnetic properties, and electrical characterization of a new coordination compound:

$[\text{CuClO}_4(\text{C}_4\text{H}_6\text{N}_2\text{O})_4\text{H}_2\text{O}]\text{ClO}_4(\text{C}_4\text{H}_6\text{N}_2\text{O})_{0.08}$

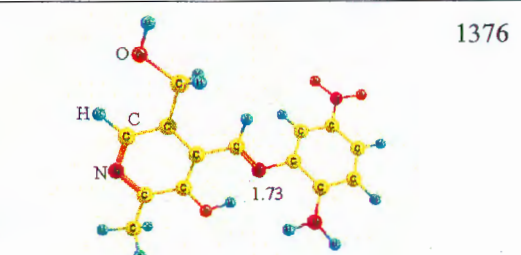
Keywords: X-ray diffraction, coordination compound, impedance spectroscopy, magnetic properties, DSC



Beyramabadi S. A., Khashi M., Morsali A., Gharib A.,
Chegini H.

Experimental and computational investigations of 4-(*E*)-(2-amino-5-nitrophenylimino)methyl)-5-(hydroxymethyl)-2-methylpyridin-3-ol Schiff base derived from vitamin B₆

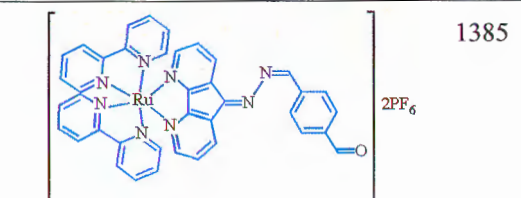
Keywords: synthesis, Schiff base, DFT, intramolecular proton transfer, assignment, AIM analysis



Erden I., Orman Z., Kilicarslan F.A.

Effect of different π -conjugated dyes containing 4,5-diazafluorenone-9-hydrazone on the performance of dye-sensitized solar cells

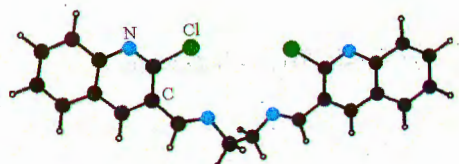
Keywords: DSSC, 4,5-diazafluorenone-9-hydrazone, Schiff base, ruthenium complexes



Beyramabadi S. A., Javan-Khoshkholgh M., Ostad N.J.,
Gharib A., Ramezanzadeh M., Sadeghi M., Bazian A.,
Morsali A.

Spectroscopic (FT-IR, NMR, UV-Vis, Fluorescence) and DFT studies (molecular structure, IR and NMR spectral assignments, NBO and Fukui function) of Schiff bases derived from 2-chloro-3-quinolinecarboxaldehyde

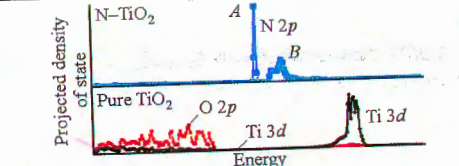
Keywords: synthesis, Schiff base, DFT, fluorescence, IR assignment, NMR, NBO



Zhang D., Wang J.

Modification of the optical and electronic properties of TiO_2 by N anion-doping for augmentation of the visible light assisted photocatalytic performance

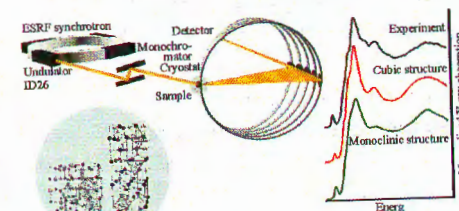
Keywords: titania, photocatalysis, nitrogen doping, DFT simulation



Подковырина Ю.С., Кременная М.А., Солдатов М.А.,
Солдатов А.В.

Влияние особенностей локальной атомной и электронной структуры магнетита на тонкие эффекты в спектрах рентгеновского поглощения высокого разрешения

Ключевые слова: магнетит, локальная атомная и электронная структура, рентгеновская спектроскопия поглощения, HERFD-XANES спектроскопия

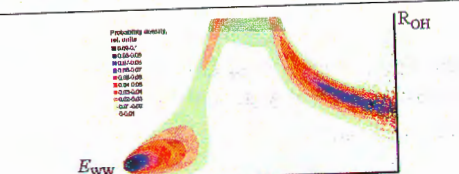


СТРУКТУРА ЖИДКОСТЕЙ И РАСТВОРОВ

Теплухин А.В.

Термодинамически мотивированный критерий водородной связи для компьютерных моделей воды

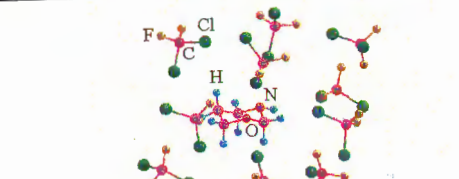
Ключевые слова: вода, водородная связь, Монте-Карло, моделирование



Кузнецов В.В.

Моделирование пирамидальной инверсии азота в тетрагидро-1,3-оксазинах в полярной среде

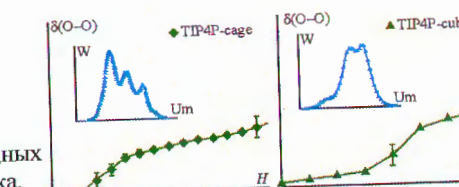
Ключевые слова: конформационный анализ, тетрагидро-1,3-оксазин, компьютерное моделирование, конформер, пирамидальная инверсия азота, сольватная оболочка, растворитель



Белега Е.Д., Елотин П.В., Трубников Д.Н.

О проблеме критериев фазовых превращений в кластерах молекул воды (пример гексамиера и октамиера)

Ключевые слова: кластеры воды, изомеризация сетки водородных связей, критерии фазовых превращений, молекулярная динамика, микроканонический ансамбль



КРИСТАЛЛОХИМИЯ

Борисов С.В., Первухина Н.В., Магарилл С.А.

Кристаллографический анализ строения $\text{LaBiI}_6 \cdot 13\text{H}_2\text{O}$ и $\text{NdBiI}_6 \cdot 13\text{H}_2\text{O}$. Подрешетка атомов иода – общий «скелет» структур

Ключевые слова: кристаллографический анализ, когерентная сборка, подрешетка анионов иода, упаковка комплексных ионов $[\text{Ln}(\text{H}_2\text{O})_9]^{3+}$ и $[\text{BiI}_6]^{3-}$

Серёткин Ю.В., Бакакин В.В.

Структура К-замещенного цеолита клиноптилолита и его поведение при сжатии в проникающей и непроникающей средах

Ключевые слова: цеолиты, К-замещенный клиноптилолит, структура, высокое давление, индуцированная давлением гидратация

Давидович Р.Л., Удовенко А.А., Логвинова В.Б., Ткачёв В.В., Шилов Г.В., Кайдалова Т.А.

Рентгеноструктурное исследование комплексных фторидов индия(III) и галлия(III) $\text{M}^{\text{II}}\text{AF}_5 \cdot 7\text{H}_2\text{O}$ ($\text{M} = \text{Co}, \text{Ni}, \text{Cu}, \text{Zn}, \text{Cd}; \text{A} = \text{In}, \text{Ga}$)

Ключевые слова: In(III), Ga(III), Cu(II), Zn(II), комплексный фторид, кристаллическая структура, октаэдрические комплексные катионы, октаэдрические комплексные анионы

Петров П.А., Сухих Т.С.

Кристаллические структуры цикlopентадиенильных катехолатных комплексов хрома

Ключевые слова: хром, декаметилхромоцен, хиноны, рентгеноструктурный анализ

Романенко Г.В., Фурсова Е.Ю., Летягин Г.А., Богомяков А.С., Петрова М.В., Морозов В.А., Овчаренко В.И.

Кристаллическая структура комплексов металлов с 2-имидалиновыми нитроксилами и дицианамидом

Ключевые слова: никель, кобальт, медь, марганец, 2-имидалиновые нитроксили, дицианамид, разнолигандные комплексы

Удовенко А.А., Макаренко Н.В., Ковалёва Е.В., Земнухова Л.А.

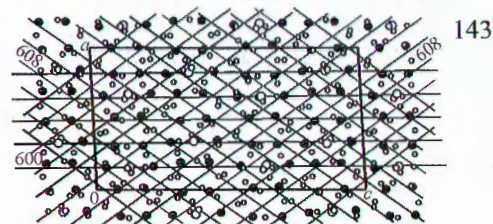
Кристаллическая структура гентафтородиантимоната(III) DL-серии

Ключевые слова: кристаллическая структура, комплексное соединение, гентафтородиантимонат(III), DL-серин

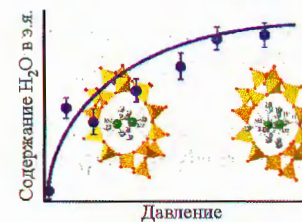
Шмакова А.А., Волчек В.В., Абрамов П.А., Соколов М.Н.

Реакция $\text{K}_2[\text{Ru}(\text{NO})\text{Cl}_5]$ с $\text{K}_8[\gamma\text{-SiW}_{10}\text{O}_{36}]$ в гидротермальных условиях: синтез $[\text{SiW}_{11}\text{O}_{39}\{\text{Ru}(\text{NO})\}]^5^-$

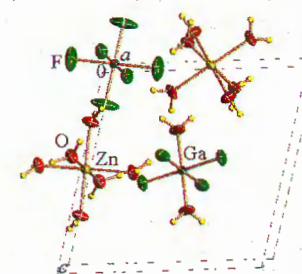
Ключевые слова: рутений, анион типа Кеттина, кристаллическая структура



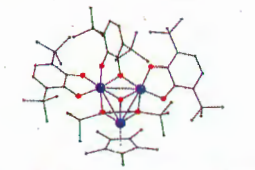
1438



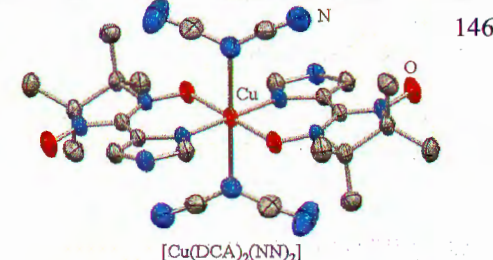
1443



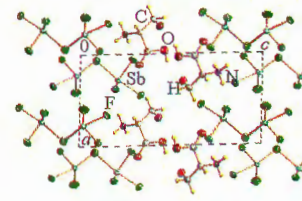
1452



1457



1465



1474

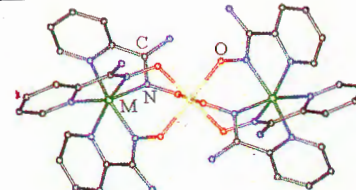


1480

Ran J.-W., Tong Y.-P.

Crystal structures, magnetic properties, and theoretical investigations of three linear cluster complexes with pyridine-2-amidoxime

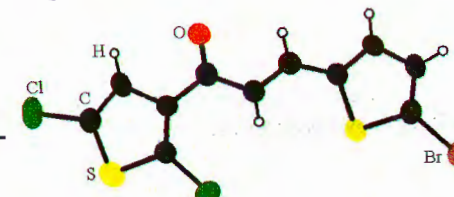
Keywords: synthesis, trinuclear complex, crystal structure, magnetic property, theoretical investigations



1486

Delgado G.E., Henao J.A., Quintana J.H., Al-Maqtari H.M., Jamalis J., Sirat H.M.

Structural characterization of a new chalcone compound containing a thiophene moiety: (E)-3-(5-bromothiophen-2-yl)-1-(2,5-dichlorothiophen-3-yl)-2-propen-1-one

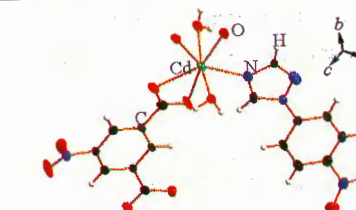


1493

Keywords: synthesis, chalcones, thiophene, crystal structure, hydrogen bond patterns

Qian J., Wang J., Chen N.-N.

Crystal structure and luminescent property of a one-dimensional chain based on 1-(4-nitrophenyl)-1,2,4-triazole

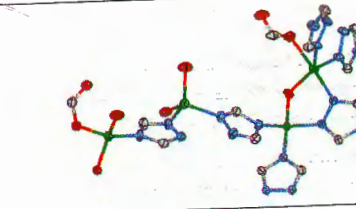


1499

Keywords: synthesis, coordination polymer, one-dimensional chain, 1-(4-nitrophenyl)-1,2,4-triazole, 5-nitro-1,3-benzenedicarboxylic acid, luminescence

Fang X.-D., Yang L.-B., Dou A.-N., Zhu A.-X., Xu Q.-Q.

Structure and photocatalytic properties of a 3D zinc(II) triazolate coordination polymer combining hydroxyl and formate anions as the auxiliary coligands

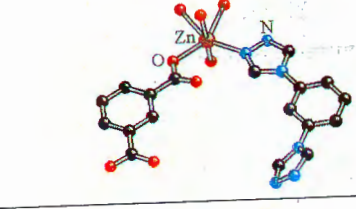


1503

Keywords: synthesis, coordination polymer, zinc(II), 1,2,4-triazole, photocatalytic property

Miao S.B., Xu C.Y., Ji B.M.

Crystal structures and luminescence properties of two one-dimensional zinc coordination polymers derived from a bis(triazole) ligand

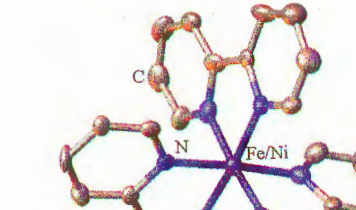


1508

Keywords: 1,3-di-(1,2,4-triazole-4-yl)benzene, coordination polymer, crystal structure, luminescence property

Чебаненко Е.А., Марцинко Е.Э., Сейфуллина И.И., Дьяконенко В.В., Шишикина С.В.

Структурные особенности и свойства гетерометаллических комплексов германия(IV) и некоторых 3d-металлов с ксилатовой кислотой и 2,2'-бипиридином

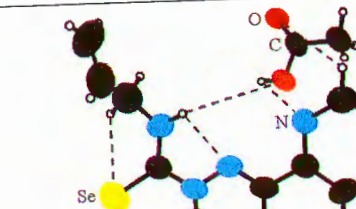


1514

Ключевые слова: ксилатогерманат, 2,2'-бипиридин, комплексы железа(II) и никеля(II), координационные соединения, молекулярная и кристаллическая структура, анализ поверхностей Хиршфельда

Чумаков Ю.М., Петренко П.А., Граур В.О., Цапков В.И., Гуля А.П.

Кристаллическая структура уксуснокислого сольваты N-(про-2-ен-1-ил)-2-(пирид-2-илметилиден)-гидразинкарбоселеноамида



1521

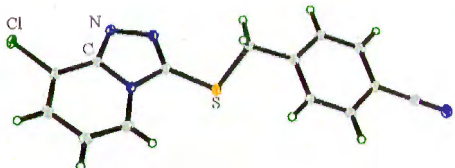
Ключевые слова: рентгеноструктурный анализ, гидразинкарбоселеноамид, селеносемикарбазон

СУПРАМОЛЕКУЛЯРНЫЕ СОЕДИНЕНИЯ И НАНОРАЗМЕРНЫЕ СИСТЕМЫ

Wang Q., Zhai Z.-W., Sun Z.-H., Yang M.-Y., Han L.,
Liu X.-H., Tan C.-X., Weng J.-Q.

Crystal structure of a novel 1,2,4-triazolo[4,3-a]pyridine compound with antifungal activity

Keywords: 1,2,4-triazolo[4,3-a]pyridine, synthesis, crystal structure, antifungal activity



1525

Bagheri A., Masoudinia M.

Catalytic properties of gadolinium oxide in removal of doxycycline with anticancer activity

Keywords: gadolinium oxide, doxycycline, hexamine, DNA, removal

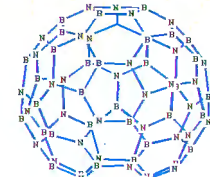


1530

Najafi M.

Oxidation of FO and N₂ molecules on the surfaces of metal-adopted boron nitride nanostructures as efficient catalysts

Keywords: catalyst, nanostructure, metal adoption, oxidation reaction, adsorption energy



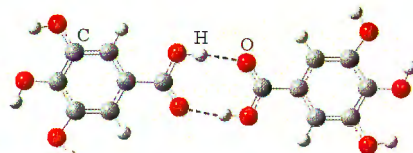
1536

СТРУКТУРА БИОЛОГИЧЕСКИ АКТИВНЫХ СИСТЕМ

Григорян К.Р., Затикян А.Л.

Ab initio исследования комплексообразования галловой кислоты в водных растворах

Ключевые слова: галловая кислота, комплексообразование, димеризация, *ab initio* расчеты, SCRF расчеты



1544

Содержание следующего номера — в конце журнала